

擴散 スペクトル 通信方式에서의 同期 維持 時間의 確率分布에 關한 研究

(A Study on the Probability Distribution of Hold-in Time in Spread Spectrum Communication Systems)

沈 龍 杰*, 李 忠 雄**

(Yong Geol Shim and Choong Woong Lee)

要 約

擴散 スペクトル 通信方式의 tracking 과정에서 hold-in time 및 false lock를 벗어나는 時間의 確率分布를 研究하였다. 이것은 correlator回路의 dwell time과 threshold level을 결정하는데 도움이 된다.

구하고자 하는 離散確率函數에 대한 發生函數를 급수전개하고 해당되는 項들의 계수를 합하여 同期 維持 時間의 確率分布를 誘導하였다. 그리하여 일반적인 시스템 파라미터들로 表現된 結果式을 구하였다.

Abstract

The probability distribution of hold-in time and that of the time to reject false lock are investigated for the tracking procedure in spread spectrum communication systems. These are helpful in deciding dwell time and threshold level of correlator circuits.

The probability distributions are derived by series expansion of generating function for discrete probability function and summation of the coefficients for corresponding terms. And the formulas described by general system parameters are obtained.

I. 序 論

최근 軍用通信이나 衛星通信등에 사용되고 있는 擴散 スペクトル 通信方式에서는 PN코드의 同期가 절대적인 문제로 되어 있다.^[1] 그런데 동기가 이루어져 계속維持되고 있는 경우에도 그것을 확인하는 과정에서 同期를 잃어버린 것으로 잘못 판정하여 현재의 同期狀態를 버리고 다시 찾는 일이 發生한다. 즉, 同期가 맞아 있다라도 通信을 계속할 수 없는 狀態가 되는 것이다. 이것은 通信 시스템의 성능을 論함에 있어 무시할 수

없는 요인으로 되며 가능한한 이와 같은 일이 發生하지 않도록 시스템을 설계해야 할 것이다.^[2] 이렇게 同期가 맞은 狀態에서 通信을 계속할 수 있는 時間을 hold-in time이라 한다.

Hopkins는 absorbing Markov chain의 transition matrix를 이용하여 SLS(search/lock strategy)에서의 hold-in time의 平均值와 分散을 계산하였다.^[2] 또, Holmes와 Chen은 Markov chain의 發生函數(generating function) 개념을 도입하여 PN코드 acquisition 시간의 平均值와 分散을 계산하였는데^[3] 이 方法을 적절히 응용하면 hold-in time의 平均과 分散도 계산할 수 있다. 그러나 일반적으로 hold-in time의 確率分布를 정규분포로 볼 수 없으므로 보다 정밀한 설계에는 平均值와 分散만으로는 미흡하다. 그러므로 完全한 確

*準會員, **正會員, 서울大學校 工科大學 電子工學科
(Dept. of Electronics Eng., Seoul National Univ.)

接受日字 : 1983年 11月 18日

率分布를 구할 필요가 있다.

本論文에서는 SLS를 사용하는 모든種類의擴散스펙트럼通信方式에서 hold-in time과同期가 맞지 않았을 때 lock 상태를 벗어나는時間의完全한確率分布를研究하였다. 그리하여受信機correlator回路의 dwell time이나 threshold level을 결정하는데 도움이 되도록하였다. 또한,擴散스펙트럼通信方式이 아니더라도同期가 중요시되는システム에서SLS를 사용한다면本論文의 결과를 이용할 수 있을 것이다.

II. SLS와 Lock Mode

SLS(search/lock strategy)는同期回路의動作을 세어하는論理的節次이다.^[2] SLS는 search mode와 lock mode로 구성되어 있다. Search mode는同期를 찾는 과정을 수행한다.同期가 맞으면 lock mode로 들어가서 계속 확인을 한다. Hold-in time의確率分布를 구하려면 lock mode를解析해야 한다.

同期가 맞았다고受信側에서 판단하는것을hit라고, 틀렸다고 판단하는것을miss라고 한다. Lock mode에서 일정한 횟수만큼 연속적으로 miss가 발생하면同期를 잃어버린 것으로 결정되어 현재의同期狀態를 버리고 search mode로 들어가서 다시同期를 찾게 된다. Lock mode에는代表의 두 가지種類가 있는데 그림1(a), (b)에圖示되었다.

그림1의 한狀態에서 다음状态로 진행하는時間(dwell time)을T, hit와miss의確率를각각p, q(단, $p+q=1$)라 하면 그림1(a), (b)에 대한 플로우그래프(flow graph)를 각각 그림2(a), (b)와 같이 작성할 수 있다. 여기서z는發生函數에 관계되는因子로

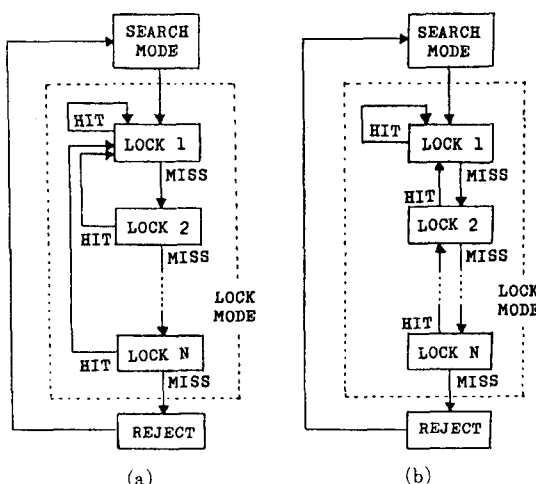


그림1. Search/lock strategy의 모델
Fig. 1. Model of search/lock strategy.

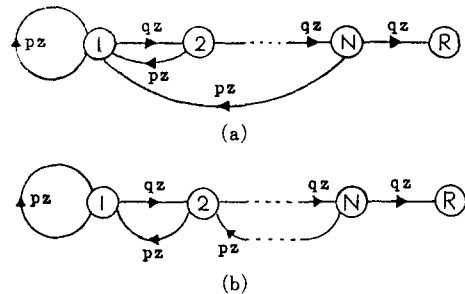


그림2. 그림1에 대한 플로우 그래프

Fig. 2. Flow graphs for Fig. 1.

서 한段階의遲延을 의미한다. 이 플로우그래프를解析하면 dwell time에 대하여正規化된時間, 즉,段階數의確率分布를 얻는다. hit의確率P를同期가 맞은상황에서옳게 detect할確率 P_d 로잡으면이時間은hold-in time이 되며,同期가 맞지 않은상황에서false alarm이發生할確率 P_{fa} 로잡으면false lock狀態를벗어나는time이된다.

시스템에따라서는각狀態마다판단의慎重性을달리하기위하여dwell time을변화시키는경우도있다. 예를들면, 狀態i에서의 dwell time이 다른 狀態보다2배이고, hit와miss의確率이 p_i , q_i 라하면 플로우그래프에서 狀態i로부터나가는가지의加重值을 $p_i z^2$, $q_i z^2$ 로표시해야한다. 狀態에따라파라미터들이 다른경우를解析하려면이와같은方法으로플로우그래프를작성해야한다.

受信側에서同期의與否를판단하기위해서는correlator回路가필요하다. Correlator回路는送信側으로부터받은PN코드와受信側의local reference로마련된PN코드사이의correlation을dwell timeT동안계산한다. 이값이미리정해진threshold level을넘으면同期가맞은것으로판단하여hit가되고, 그렇지않으면miss가된다. 예를들어,時間T동안correlation을취할수있는PN코드의bit수를m이라하고, t개이상의bit가일치해야hit되도록threshold level을정한다면한bit가일치될確率이 p_b 일때hit의確率p는

$$P = \sum_{i=1}^m \binom{m}{i} p_b^i (1-p_b)^{m-i} \quad (1)$$

이된다.판단을정확하게하려면T를충분히길게하고, threshold level을적절하게정해야한다. 그런데, T를길게하면速度가늦어지므로, error의確率이설계상의허용범위를벗어나지않는한T를짧게하는것이유리하다. 그러므로, lock mode에관련된確率分布를알면dwell time이나threshold level을결

정하는데 큰 도움이 될 것이다.

III. 同期 維持 時間 確率分布의 誘導

狀態 i에서 n段階 後에 狀態 j로 遷移하는 確率을 離散確率函數 $P_{ij}(n)$ 으로 定義한다. 이때 $P_{ij}(n)$ 의 發生函數 $P_{ij}(z)$ 는 다음 式으로 定義된다.

$$P_{ij}(z) \triangleq \sum_{n=0}^{\infty} z^n P_{ij}(n) \quad (2)$$

$P_{ij}(z)$ 는 플로우그래프에서 狀態 i와 狀態 j 사이의 傳達函數와 같은 사실이 증명되어 있다.³⁾ $P_{ij}(n)$ 은 (2)式에 대한 $P_{ij}(z)$ 의 역변환인데, $p_{ij}(z)$ 의 n계 導函數를 계산하여 얻을 수도 있으나 p, q, N에 대한 일반적인 式을 얻기 위하여 本論文에서는 $P_{ij}(z)$ 를 급수전개하여 z^n 의 계수를 계산하면 $P_{ij}(n)$ 을 얻을 수 있음에 확인하였다.

그림 2의 LOCK 1에서 REJECT까지의 傳導函數를 $P(z)$ 라 하고, n段階 後에 lock를 끊어버릴 確率을 $p(n)$ 이라 하면 $P(z)$ 는 $p(n)$ 의 發生函數이다.

그림 2 (a)에 Mason定理^{[4], [5]}를 적용하면

$$P(z) = \frac{q^N z^N}{1 - P^z \sum_{i=0}^{N-1} q^i z^i} \quad (3)$$

이고, 이 式을 급수전개하면(附錄 I 참조)

$$P(z) = q^N z^N (1 - qz) \sum_{r=0}^{\infty} \sum_{a=0}^r \binom{r}{a} (-pq^N)^a z^{r+Na} \quad (4)$$

이 된다. 여기서,

$$H(z) \triangleq \sum_{r=0}^{\infty} \sum_{a=0}^r \binom{r}{a} (-pq^N)^a z^{r+Na} \quad (5)$$

라하고 $H(z)$ 에서 z^k 의 계수를 $h(k)$ 라 하면 $h(k)$ 는 $r+Na=k$

를 만족하는 項들의 계수 합이다. (5)式에서 r과 a의 변화 범위는

$$r \geq 0, 0 \leq a \leq r \quad (7)$$

이므로 $h(k)$ 는 (6), (7)式을 만족하는 a, r의 정수값에 대하여 생각해야 한다. 이 부분을 그림 3에 實線으로

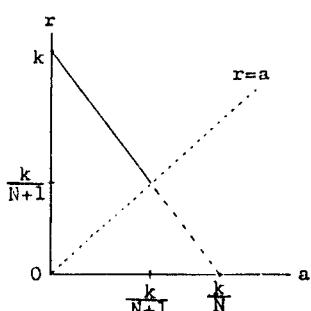


그림 3. a, r의 변화 범위 설명도

Fig. 3. Variation range diagram of a, r.

圖示하였다.

a의 변화 범위는 0에서 $k/(N+1)$ 사이이고, 일단 a가 정해지면 r은 (6)式으로부터 $k-Na$ 로 주어진다. 이와같이 반드시 a를 먼저 정해야 함에 주의해야 한다. 만일 r을 먼저 정하면 (6)式을 만족하는 a의 정수값이 存在하지 않을 수도 있다. 따라서 $h(k)$ 는

$$h(k) = \begin{cases} \sum_{a=0}^{\lfloor \frac{k}{N+1} \rfloor} \binom{k}{a} (-pq^N)^a, & k \geq 0 \\ 0, & k < 0 \end{cases} \quad (8)$$

이 된다. 여기서 기호 $\lfloor X \rfloor$ 는 X의 정수부분을 나타낸다. 이제 (4)式을 살펴보면 z^n 의 계수 $p(n)$ 은 $H(z)$ 로 定義된 부분에서 z^{n-N} 과 z^{n-N-1} 의 계수로 표현될 수 있다. 즉,

$$P(n) = q^N [h(n-N) - qh(n-N-1)] \quad (9)$$

이 된다. 이것으로 그림 1 (a)에 대한 確率分布를 구하였다.

이 결과의妥當性을 검토하기 위하여 N이 3인 경우의 몇 가지 간단한 예들에 대하여 그림 1 (a)와 그림 2 (a)로부터 가능한 경로를 생각하여 얻은 결과와 (8), (9)式으로부터 계산된 결과를 비교한다.

그림 1 (a)와 그림 2 (a)를 살펴보면 LOCK 1으로부터 REJECT되려면 최소한 3개의段階가 필요함을 알 수 있다. 따라서 $p(0), p(1), p(2)$ 는 모두 0이다. $p(3)$ 은 3번 연속하여 miss되는 경우이므로 q^3 이고, $p(4)$ 는 처음에 한 번 hit되고 다음 3번 연속으로 miss되는 경우이므로 pq^3 이다. $p(5)$ 는 처음 두 번 연속하여 hit되고 다음 3번 연속으로 miss되는 경우와 처음에 한 번 miss되어 LOCK 2로 진행한 다음 한 번 hit되어 다시 LOCK 1으로 되돌아 온 후 3번 연속으로 miss되는 경우가 있으므로 $p^2q^3 + pq^4$ 이 된다. $p(6)$ 도 같은 요령으로 가능한 경로를 생각하면 $p^3q^3 + 2p^2q^4 + pq^5$ 이 된다.

한편, (8)式으로부터 $h(-3), h(-2), h(-1)$ 은 0이고, $h(1), h(2), h(3)$ 은 1이다. 이때 (9)式으로부터 $p(0), p(1), p(2)$ 는 0이고, $p(3)$ 은 q^3 이며, $p(4), p(5), p(6)$ 는 $q^3 - q^4$ 이 된다.

p는 $1-q$ 임을 생각하면 이 두 가지 결과들은 모두 일치한다. 여기서는 매우 간단한 예들을 생각하였는데 보다 복잡한 예에 대하여도 같은 방법으로 두 결과가 일치함을 설명할 수 있다. 이렇게 (9)式의 타당성을 확인할 수 있다.

그림 2 (b)의 경우에는 일반적인 N에 대하여 $P(z)$ 를 closed-from으로 표현할 수 없다. 그러나 N 값이 정해지면 同一한 方法으로 解析할 수 있다. 여기서는 전형적인 경우로서 N이 3인 경우에 대하여 解析하였

다. 이때 $P(z)$ 는

$$P(z) = \frac{q^3 z^3}{1 - pz - 2pqz^2 + p^2qz^3} \quad (10)$$

이고, 이 式을 급수전개하면(附錄 II 참조)

$$P(z) = \sum_{r=0}^{\infty} \sum_{a=0}^r \sum_{b=0}^{r-a} (-1)^{a+2b} \frac{r!}{a! b! (r-a-b)!} \cdot p^{r+a} q^{a+b+\frac{1}{2}} z^{r+2a+b+\frac{3}{2}} \quad (11)$$

이 된다. z^n 의 계수 $p(n)$ 은 (11)式에서

$$r+2a+b+3=n \quad (12)$$

을 만족하는 項들의 계수 합이다. (11)式에서 a , b , r 의
변화범위는

$$a+b \leq r, \quad 0 \leq a \leq r, \quad 0 \leq b \leq r \quad (13)$$

이다. 그림 4는 (13)式의 제한 영역 내에서 (12)式이 나타내는 平面을 圖示한 것이다. 이 중에서 a , b , r 이 모두 정수인 점들만을 생각해야 한다. $a=r$ 平面과의 교선의 반직선은 $b=0$ 을 (12)式에 代入하여

$$r+2s+3=n \quad (14)$$

이 되고, $r = a + b$ 인 平面과의 교선의 방정식은 (12)式
과 연립하여 b 를 소거하면

$$2r+a+3=n \quad (15)$$

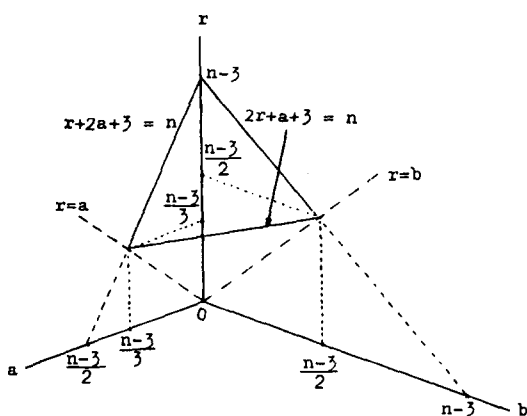


그림 4 a, b 및 f의 변화 범위 설명도

Fig. 4 Variation range diagram of a, b and r.

이 된다. 그리고, 각 꼭지점들의 좌표를 구하여 그림 4에 기입하였다.

a, b, r의 변화 범위를 생각하면 먼저 r이 $(n-3)/3$ 에서 $(n-3)/2$ 의 범위에 있을 때 a의 범위는 (15)式과 (14)式으로부터 $(n-2r-3)$ 에서 $(n-r-3)/2$ 임을 알 수 있다.

이때 b 는 (12)式으로부터 $(n-r-2a-3)$ 이다. 다음,
 r 이 $(n-3)/2$ 에서 $(n-3)$ 의 범위에 있을 때 a 의 범위
 는 0에서 $(n-r-3)/2$ 이고, b 는 역시 $(n-r-2a-3)$
 이다.

이상의 결과를 종합하여 (11)式의 계수로부터 $p(n)$ 을 구하면

$$\begin{aligned}
 p(n) = & \sum_{r=\frac{n-4}{3}+1}^{\frac{n-5}{2}} \sum_{a=n-2r-3}^{\frac{n-r-3}{2}} (-1)^a 2^{n-r-2a-3} \cdot \\
 & \frac{r!}{a! (n-r-2a-3)! (2r+a-n+3)!} p^{r+a} q^{n-r-a} \\
 & + \sum_{r=\frac{n-3}{2}+1}^{n-3} \sum_{a=0}^{\frac{n-r-3}{2}} (-1)^a 2^{n-r-2a-3} \cdot \\
 & \frac{r!}{a! (n-r-2a-3)! (2r+a-n+3)!}. \tag{16}
 \end{aligned}$$

이 된다. (16)式은 表現方法의 問題로 $n \geq 5$ 인 경우에만 성립하다.

(11)式을 살펴보면 z 의 차수가 3보다 작게되는 a , b , r 의 값은 존재하지 않는다. 이것은 그림 1 (b)와 그림 2 (b)에서 N 이 3 이므로 LOCK 1 으로부터 REJECT 될 때까지 최소한 3개의 단계가 필요한 사실과 일치한다. 따라서

$$p(1) = p(1) = p(2) = 0 \quad (17)$$

이다. $p(3)$ 은 (11)式에서 z^3 의 계수이며 a, b, r 이 모두 0인 경우이므로

$$p(3) = q^3 \quad (18)$$

이다. 이것은 LOCK 1에서 3 번 연속하여 miss 되는 경우를 나타낸다. p(4)는 (11)式에서 z^4 의 계수이며 a 와 b가 0이고 r이 1일 경우이므로

$$p^{(4)} = p q^3 \quad (19)$$

이다. 이것은 LOCK1에서 1번 hit되고 다음 3번 연속으로 miss되는 경우를 나타낸다. 이것으로 그림1(b)의 시스템에 대한完全한確率分布를 구하였다.

(16)式의妥當性을 검토하기 위하여 $p(5)$ 와 $p(6)$ 를 그림 1 (b)와 그림 2 (b)에서 가능한 경로를 생각하여 얻은 결과와 (16)式으로부터 계산된 결과를 비교한다. 5段階만에 로크를 벗어나는 경우를 살펴보면 LOCK 1에서 연속하여 2번 hit되고 다음 3번 연속으로 miss되는 경우의 確率이 p^2q^3 이고, LOCK 1에서 miss되어 LOCK 2로 진행한 다음 1번 hit되어 다시 LOCK 1으로 되돌아 온 후 3번 연속으로 miss되는 경우의 確率이 pq^4 이고, LOCK 1에서 2번 miss되어 LOCK 3까지 진행한 다음 1번 hit되어 LOCK 2로 되돌아 온後 2번 연속으로 miss되는 경우의 確率이 pq^4 이다. 따라서 $p(5)$ 는 $p^2q^3 + 2pq^4$ 이다. 또한, 6段階만에 로크를 벗어나는 경우를 살펴보면 LOCK 1에서 연속하여 3번 hit되고 다음 3번 연속으로 miss되는 경우의 確率이 p^3q^3 이고, LOCK 1에서 1번 hit된後 1

번 miss되어 LOCK 2로 진행한 다음 다시 hit되어 LOCK 1으로 되돌아온 후 3번 연속으로 miss되는 경우의 確率이 p^2q^4 이고, LOCK 1에서 1번 hit된 후 2번 miss되어 LOCK 3으로 진행한 다음 hit되어 LOCK 2로 되돌아온 후 2번 연속으로 miss되는 경우의 確率이 p^2q^4 이고, LOCK 1에서 1번 miss되어 LOCK 2로 진행한 다음 hit되어 되돌아와 1번더 hit된 후 3번 연속으로 miss되는 경우의 確率이 p^2q^4 이다. 따라서 $p(6)$ 은 $p^3q^3 + 3p^2q^4$ 이다. 한편, (16)式으로부터 $p(5)$ 와 $p(6)$ 를 계산하면同一한 결과를 얻을 수 있다. 다른 예에 대하여도 두 결과가 일치함을 설명할 수 있으며 이렇게 하여 (16)式의妥當性을 확인할 수 있다.

IV. 數値的計算例

N 이 3일 때 여러가지 p 값에 대하여 確率分布를 계산하였다. Hold-in time을 解析하는 경우에는 L 단계까지 lock를 잊지 않고 通信을 계속할 수 있을 確率이 의미가 있는데 이 確率은

$$1 - \sum_{n=0}^L p(n) \quad (20)$$

이다. 그림 5에 이 確率을 나타내었다. 그림 5(a), (b)는 각각 그림 1(a), (b)의 시스템에 대한 계산 결과이며 p 는 P_D 이다.

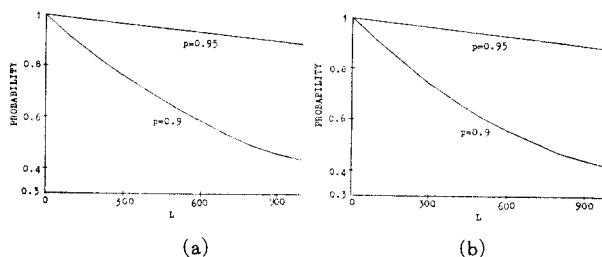


그림 5. 同期가 맞았을 때 hold-in time의 확률
Fig. 5. Probability of hold-in time for correct synchronization.

False lock 상태를 벗어나는 時間을 解析하는 경우에는 L 단계 이전에ロック를 벗어나는 確率이 의미가 있는데 이 確率은

$$\sum_{n=0}^L p(n) \quad (21)$$

이며 그림 6은 이 確率을 나타낸 것이다. 그림 6(a), (b)는 각각 그림 1(a), (b)에 대한 결과이며 P 는 P_{FA} 이다.

V. 結論

擴散 スペクトル 通信方式의 tracking 과정에서 lock

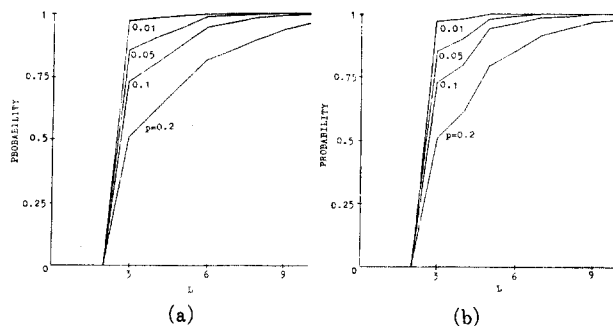


그림 6. 同期가 맞지 않았을 때 false lock을 벗어나는 시간의 확률
Fig. 6. Probability of the time to reject false lock for incorrect synchronization.

상태를 벗어나는 時間의 確率分布를 시스템 파라미터 p , q , N 으로 주어지는 일반적인 式으로 表现할 수 있었다.

數値的計算例를 통하여 hold-in time이 충분히 维持되려면 p 가 큰 값을 가져야 하고, 신속히 false lock을 벗어나려면 p 값이 작아야 함을 확인하였다(그림 5, 6).

원하는 성능을 가진 시스템에 대한 p , q , N 의 값을 알 수 있게 함으로써 그 시스템의 dwell time이나 threshold level을 결정하기 위한 자료로 활용될 수 있을 것이다. 本 論文의 結果式은 매우 일반적이어서 여러가지 형태의 시스템에 有用하게 적용된다.

주변의 여러가지 상황(예를 들면 페이딩現像, multiple access, 防害信號의 存在 등)에 대하여 빠르게 檢出할 確率 p_D , 혹은 false alarm이 發生할 確率 p_{FA} 를 계산하여 hit의 確率 p 를 결정하면 그에 따라 miss의 確率 q 도 결정되어ロック 상태를 벗어나는 時間의 確率分布를 계산할 수 있다.

本 論文에서 시도한 方法은 다른 시스템이나 다른 確率變數의 分布를 구할 때에도 응용될 수 있을 것이다.

附 錄 I

$$\sum_{i=0}^{N-1} q^i z^i = \frac{1 - q^N z^N}{1 - qz} \quad (22)$$

$$p + q = 1 \quad (23)$$

인 관계들을 (3)式에 적용하여 정돈하면 다음과 같다.

$$P(z) = \frac{q^N z^N (1 - qz)}{1 - z + pq^N z^{N+1}} \quad (24)$$

일반적으로 $|R| < 1$ 인 수령역에 대하여

$$\frac{1}{1 - R} = \sum_{r=0}^{\infty} R^r \quad (25)$$

임에 착안하면 (5)식을 다음과 같이 급수 전개할 수 있다.

$$P(z) = q^N z^N (1 - qz)^r \sum_{r=0}^{\infty} z^r (1 - pq^N z^N)^r \quad (26)$$

단, 수렴역은 $|z - pq^N z^{N+1}| < 1$ 이다. (26)式을 더 전개하기 위하여 binomial theorem을 이용하면

$$P(z) = q^N z^N (1 - qz)^r \sum_{r=0}^{\infty} z^r \sum_{a=0}^r \binom{r}{a} (-pq^N z^N)^a \quad (27)$$

이므로 (4)式을 얻을 수 있다.

附 錄 II

(10)式은 $|pz + 2pqz^2 - p^2qz^3| < 1$ 인 수렴역에 대하여

$$P(z) = q^3 z^3 \sum_{r=0}^{\infty} (pz + 2pqz^2 - p^2qz^3)^r \quad (28)$$

이 된다. (15)식의 팔호 안을 전개하기 위하여 다음 사실을 이용한다. 일반적으로

$$(x+y+u)^r = \sum \frac{r!}{a! b! c!} x^a y^b u^c \quad (29)$$

이며 \sum 는 a, b, c 가 $a+b+c=r$ 이 되는 음이 아닌 모든 정수에 대하여 합한 것을 나타낸다. 이때 a 의 변화 범위는 0에서 r 까지이고, 일단 a 가 정해지면 b 의 변화 범위는 0에서 $r-a$ 까지이고, a 와 b 가 정해지면 c 는 $r-a-b$ 로 주어진다. 그러므로 (29)式은 다음과 같이 변형된다.

$$(x+y+u)^r = \sum_{a=0}^r \sum_{b=0}^{r-a} \frac{r!}{a! b! (r-a-b)!} \cdot$$

$$x^a y^b u^{r-a-b} \quad (30)$$

x, y, u 를 각각 $-p^2 q z^3, 2pqz^2, pz$ 로 생각하면 (30)式을 이용하여 (28)式을 (11)式과 같이 전개할 수 있다.

參 考 文 獻

- [1] R.C. Dixon, *Spread Spectrum Systems*. Wiley, New York, pp. 177-214, 1976.
- [2] P.M. Hopkins, "A unified analysis of pseudonoise synchronization by envelope correlation," *IEEE Trans. Commun.*, vol. COM-25, no.8, pp.770-778, Aug. 1977.
- [3] J.K. Holmes and C.C. Chen, "Acquisition time performance of PN spread-spectrum systems," *IEEE Trans. Commun.*, vol. COM-25, no.8, pp. 778-783, Aug. 1977.
- [4] S.J. Mason, "Feedback theory: Some properties of signal flow graphs," *Proc. IEEE*, vol. 41, no.9, Sep. 1953.
- [5] S.J. Mason, "Feedback theory: Further properties of signal flow graphs," *Proc. IEEE*, vol. 44, no. 7, July 1956.